

2019 年度 構造力学 II 講義メモ 4

修正履歴:

1. 式 (48)-(50), $F/2$ の項を F に修正 (2019/06/03)

1 マトリクス構造解析 (有限要素法)

図 1 に示すような荷重を受ける軸力部材を考える．いま，部材の左端部を節点 1, 右端を節点 2 と呼び，これらの節点における荷重を， x 軸方向を正として f_1, f_2 と表す．同様に，節点 1 と 2 における変位を u_1, u_2 とし，節点荷重 (f_1, f_2) と節点変位 (u_1, u_2) が満足すべき関係を求める．ただしここでは，軸力問題の厳密な解 $u(x)$ を求めるのではなく，その近似解を求めることを考える．従って，以下に示す方法で求められるものはあくまで近似解だが，問題によっては厳密な解が与えられることもできる．また，計算量の増加を許容するならば，必要に応じて任意に高い精度の近似解を構成することができる．

1.1 近似解と内挿関数

軸力問題の厳密解を $u(x)$, 近似解を $\tilde{u}(x)$ と表す．はじめに，未知の解 $u(x)$ を $0 < x < l$ において直線で近似することを考える．このとき， $\phi_1(x)$ と $\phi_2(x)$ を

$$\phi_1(x) = 1 - \frac{x}{l}, \quad \phi_2(x) = \frac{x}{l} \quad (1)$$

とすれば，近似解 $\tilde{u}(x)$ を，

$$u(x) \simeq \tilde{u}(x) = u_1\phi_1(x) + u_2\phi_2(x) = \sum_{j=1}^2 u_j\phi_j(x) \quad (2)$$

と表すことができる． ϕ_1, ϕ_2 は，節点間の解を内挿する役割を果たすことから”内挿関数”と呼ばれる．ここで， $x_1 = 0, x_2 = l$ とすれば，内挿関数 ϕ_1, ϕ_2 は

$$\phi_i(x_j) = \delta_{ij}, \quad (i, j = 1, 2) \quad (3)$$

の関係を満足する．

1.2 弱形式

図 1 に示す軸力問題に対する弱形式:

$$a(u, \xi) = b(\xi) \quad (4)$$

の各項は，節点における荷重 f_1, f_2 が既知と考えるとき，

$$a(u, \xi) = \int_0^l EAu'\xi' dx \quad (5)$$

$$b(\xi) = \sum_{i=1}^2 f_i \xi(x_i) + \int_0^l p\xi dx \quad (6)$$

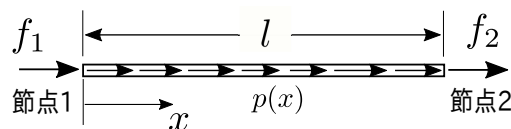


図 1: 軸力問題.

で与えられる．そこで，近似解 (2) を $u = \tilde{u}$ とし， $\xi = \phi_i$, ($i = 1, 2$) をとして式 (4) に代入すれば，

$$a \left(\sum_{j=1}^2 u_j \phi_j, \phi_i \right) = \sum_{j=1}^2 a(\phi_i, \phi_j) u_j = b(\phi_i), \quad (i = 1, 2) \quad (7)$$

の関係が得られる．ここで，式 (7) を得るにあたり，

$$a(u_j \phi_j, \phi_i) = u_j a(\phi_i, \phi_j), \quad a(\phi_j, \phi_i) = a(\phi_i, \phi_j) \quad (8)$$

とできることを利用した．式 (7) を， $i = 1, 2$ の場合をまとめ，行列とベクトルを用いて整理すると，次のようになる．

$$\begin{pmatrix} a(\phi_1, \phi_1) & a(\phi_1, \phi_2) \\ a(\phi_2, \phi_1) & a(\phi_2, \phi_2) \end{pmatrix} \begin{Bmatrix} u_1 \\ u_2 \end{Bmatrix} = \begin{Bmatrix} f_1 \\ f_2 \end{Bmatrix} + \begin{Bmatrix} p_1 \\ p_2 \end{Bmatrix} \quad (9)$$

ただし，

$$p_i := \int_0^l p \phi_i dx, \quad (i = 1, 2) \quad (10)$$

とし，式 (9) の右辺第 1 項を得るためには，式 (3) を用いた．ここで，式 (9) 左辺の係数行列を

$$\mathbf{k} := \begin{pmatrix} a(\phi_1, \phi_1) & a(\phi_1, \phi_2) \\ a(\phi_2, \phi_1) & a(\phi_2, \phi_2) \end{pmatrix} = \begin{pmatrix} k_{11} & k_{12} \\ k_{21} & k_{22} \end{pmatrix} \quad (11)$$

と置き， EA が $0 < x < l$ において一定の場合について，行列 \mathbf{k} の成分を計算すると，

$$\mathbf{k} = \frac{EA}{l} \begin{pmatrix} 1 & -1 \\ -1 & 1 \end{pmatrix} \quad (12)$$

となる．式 (11) で与えられる行列 \mathbf{k} は，要素剛性マトリクスと呼ばれる．さらに，

$$\mathbf{u} := (u_1, u_2)^T \quad (13)$$

$$\mathbf{f} := (f_1, f_2)^T \quad (14)$$

$$\mathbf{p} := (p_1, p_2)^T \quad (15)$$

とすれば，式 (9) を

$$\mathbf{k} \mathbf{u} = \mathbf{f} + \mathbf{p} \quad (16)$$

と書くことができる．式 (16) すなわち式 (9) は剛性方程式と呼ばれる．

1.3 例題 1

- 図 2 に示す軸力部材に生じる変位の近似解 $\tilde{u}(x)$ を，剛性方程式 (9) を用いて求める．分布力は $p(x) = 0$ だから， $\mathbf{p} = (p_1, p_2)^T = \mathbf{0}$ である．また，節点 1 は固定壁であることから，節点 1 の変位は $u_1 = 0$ である．さらに，節点 2 では荷重が与えられていることから $f_2 = F$ と置くことができる．以上より，剛性方程式は

$$\frac{EA}{l} \begin{pmatrix} 1 & -1 \\ -1 & 1 \end{pmatrix} \begin{Bmatrix} u_1 = 0 \\ u_2 \end{Bmatrix} = \begin{Bmatrix} F_1 \\ F_2 = F \end{Bmatrix} + \begin{Bmatrix} p_1 = 0 \\ p_2 = 0 \end{Bmatrix} \quad (17)$$

となる．この方程式を u_2 と F_1 について解けば，

$$u_2 = \frac{Fl}{EA}, \quad F_1 = -F \quad (18)$$

が得られる．従って，求めるべき近似解は

$$\tilde{u}(x) = u_1 \phi_1(x) + u_2 \phi_2(x) = \frac{Fx}{EA} \quad (19)$$

と，この場合は厳密解に一致する結果が得られる．

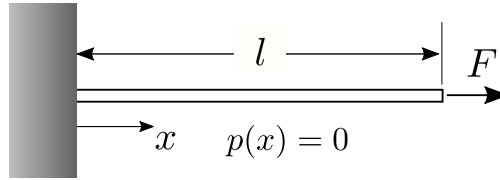


図 2: 部材右端部に既知の荷重 F を受ける軸力部材.

2. 図 3 に示すような, 部材両端で軸方向の荷重が加えられた軸力部材を考える. この場合剛性方程式は, $p = 0$ と $f = (F_1, F_2)^T$ から,

$$\frac{EA}{l} \begin{pmatrix} 1 & -1 \\ -1 & 1 \end{pmatrix} \begin{Bmatrix} u_1 \\ u_2 \end{Bmatrix} = \begin{Bmatrix} F_1 \\ F_2 \end{Bmatrix} \quad (20)$$

となる. 式 (20) の剛性マトリクスは, 逆行列を持たないことから, この連立方程式の条件は互いに独立でない. そのため, u_1 と u_2 を一意に決定することができず,

$$F_1 = -F_2, \quad (21)$$

すなわち, 力の釣り合い条件が成り立つことだけが結論される.

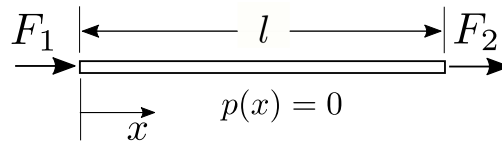


図 3: 部材両端部で軸方向の力が加えられた軸力部材.

3. 図 4 に示すような, 軸方向に等分布荷重を受ける軸力問題を考える. この場合, $p(x) = p_0$ より, p の成分を計算すると,

$$p_1 = \int_0^l p_0 \phi_1(x) dx = \frac{p_0 l}{2} \quad (22)$$

$$p_2 = \int_0^l p_0 \phi_2(x) dx = \frac{p_0 l}{2} \quad (23)$$

となる. また, $u_1 = 0, f_2 = 0$ だから, 剛性方程式は

$$\frac{EA}{l} \begin{pmatrix} 1 & -1 \\ -1 & 1 \end{pmatrix} \begin{Bmatrix} 0 \\ u_2 \end{Bmatrix} = \begin{Bmatrix} f_1 \\ 0 \end{Bmatrix} + \frac{p_0 l}{2} \begin{Bmatrix} 1 \\ 1 \end{Bmatrix} \quad (24)$$

と縮約され,

$$u_2 = \frac{p_0 l^2}{2EA}, \quad f_1 = -p_0 l \quad (25)$$

が得られる. よって, 変位の近似解は

$$\tilde{u}(x) = \frac{p_0 l^2}{2EA} \frac{x}{l} \quad (26)$$

となる. 厳密解は x の 2 次関数だから, この問題では近似解と厳密解は一致し得ない. しかしながら, 部材端部では, 近似解と厳密解が一致することを確認することができる.

4. 図 5 に示すような, 部材中央の点に集中荷重を受ける軸力部材に生じる変位を求める. 外力 $p(x)$ は

$$p(x) = F \delta \left(x - \frac{l}{2} \right) \quad (27)$$

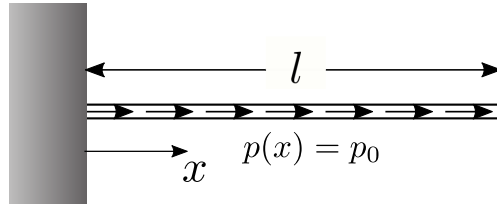


図 4: 等分布荷重を受ける軸力部材.

だから, デルタ関数の性質より,

$$p_i = \int_0^l F \delta \left(x - \frac{l}{2} \right) \phi_i dx = F \phi_i \left(\frac{l}{2} \right) = \frac{F}{2}, \quad (i = 1, 2) \quad (28)$$

で, 剛性方程式は

$$\frac{EA}{l} \begin{pmatrix} 1 & -1 \\ -1 & 1 \end{pmatrix} \begin{Bmatrix} 0 \\ u_2 \end{Bmatrix} = \begin{Bmatrix} f_1 \\ 0 \end{Bmatrix} + \frac{F}{2} \begin{Bmatrix} 1 \\ 1 \end{Bmatrix} \quad (29)$$

となる. これを u_2 と f_1 について解けば,

$$u_2 = \frac{1}{2} \frac{Fl}{EA}, \quad f_1 = -F \quad (30)$$

が得られる. この問題の厳密な変位分布は, 区分的 1 次関数 (折れ線) で表されるため, 近似解と厳密解が完全に一致することは期待できないが, 部材端部では正確な結果が得られていることを示すことができる.

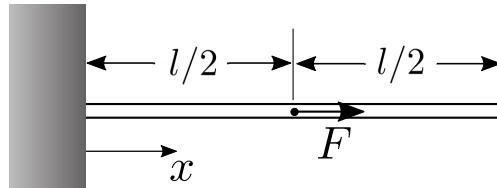


図 5: 部材中央で集中荷重を受ける軸力部材.

1.4 問題 1

図 6 に示すような, 右半分の区間に等分布荷重を受ける軸力部材に生じる変位を, 式 (16) を用いて求めよ. なお, 部材の断面剛性 EA は一定とする.

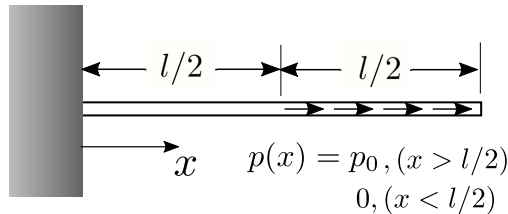


図 6: 右半分の区間に, 大きさ p_0 の等分布荷重を受ける片端が固定された軸力部材.

1.5 2要素近似

ここでは、近似精度を改善するために、軸力部材を図7に示すような2つの要素に分割して近似解 $\tilde{u}(x)$ を構成する。2つの要素への分割位置を指定するために、軸力部材の左端を節点1、右端を節点3、部材内部の分割位置を節点2とし、節点1と2の区間を要素1、節点2と3の区間を要素2と呼ぶことにする。これらの節点1から3は、部材全体の中での節点配置を表すため、その番号を全体節点番号と呼ぶ。一方、特定の要素における力や変位、断面位置といった量を表現するには、当該要素の左端と右端を参照するために、要素毎に設定した節点番号(要素節点番号)を用いることが便利である。そこで、図7の(b)と(c)示すように、要素節点1と2を定め、要素 e の要素節点 i における軸変位を u_i^e 、軸方向の力 f_i^e と表す。さらに、要素長を l_e 、部材軸方向の座標を x_e 、断面積を A_e 等と、要素毎に変化する量を表す際には、要素番号を付すことにする。このとき、要素 $e(=1,2)$ に対する剛性方程式は、前節の議論から

$$\frac{EA_e}{l_e} \begin{pmatrix} 1 & -1 \\ -1 & 1 \end{pmatrix} \begin{Bmatrix} u_1^e \\ u_2^e \end{Bmatrix} = \begin{Bmatrix} f_1^e \\ f_2^e \end{Bmatrix} + \begin{Bmatrix} p_1^e \\ p_2^e \end{Bmatrix}, \quad (e=1,2) \quad (31)$$

と書くことができる。なお、分布力 $p(x)$ に起因する節点荷重ベクトル $\mathbf{p}^e = (p_1^e, p_2^e)^T$ の成分は、要素 e 上の内挿関数:

$$\phi_1^e = 1 - \frac{x_e}{l_e}, \quad \phi_2^e = \frac{x_e}{l_e} \quad (32)$$

を用いて、次の式で与えられる。

$$p_i^e := \int_{x_e=0}^{l_e} p(x_e) \phi_i^e(x_e) dx_e, \quad (i, e=1,2) \quad (33)$$

ここで、全体節点番号 I の節点における変位を u_I 、集中外力を F_I とすれば、要素節点変位 u_i^e と荷重 f_i^e と

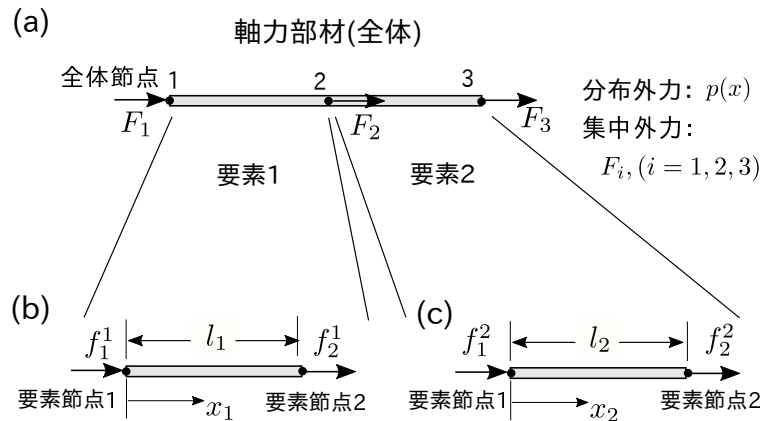


図7: 軸力部材の2つの要素への分割.

の関係は

$$u_1^1 = u_1, \quad u_2^1 = u_1^2 = u_2, \quad u_2^2 = u_3 \quad (34)$$

$$f_1^1 = F_1, \quad f_2^1 + f_1^2 = F_2, \quad f_2^2 = F_3 \quad (35)$$

となる。従って、 $e=1$ に対する剛性方程式 (31) は

$$\frac{EA_1}{l_1} \begin{pmatrix} 1 & -1 & 0 \\ -1 & 1 & 0 \\ 0 & 0 & 0 \end{pmatrix} \begin{Bmatrix} u_1 \\ u_2 \\ u_3 \end{Bmatrix} = \begin{Bmatrix} f_1^1 \\ f_2^1 \\ 0 \end{Bmatrix} + \begin{Bmatrix} p_1^1 \\ p_2^1 \\ 0 \end{Bmatrix}, \quad (36)$$

と書くことができる。同様に、要素 $e=2$ の剛性方程式は

$$\frac{EA_2}{l_2} \begin{pmatrix} 0 & 0 & 0 \\ 0 & 1 & -1 \\ 0 & -1 & 1 \end{pmatrix} \begin{Bmatrix} u_1 \\ u_2 \\ u_3 \end{Bmatrix} = \begin{Bmatrix} 0 \\ f_1^2 \\ f_2^2 \end{Bmatrix} + \begin{Bmatrix} 0 \\ p_1^2 \\ p_2^2 \end{Bmatrix} \quad (37)$$

と書くことができる．そこで，式 (36) と (37) の辺々を加え，式 (35) を用いれば，

$$\begin{pmatrix} \frac{EA_1}{l_1} & -\frac{EA_1}{l_1} & 0 \\ -\frac{EA_1}{l_1} & \frac{EA_1}{l_1} + \frac{EA_2}{l_2} & -\frac{EA_2}{l_2} \\ 0 & -\frac{EA_2}{l_2} & \frac{EA_2}{l_2} \end{pmatrix} \begin{Bmatrix} u_1 \\ u_2 \\ u_3 \end{Bmatrix} = \begin{Bmatrix} F_1 \\ F_2 \\ F_3 \end{Bmatrix} + \begin{Bmatrix} p_1^1 \\ p_2^1 + p_1^2 \\ p_2^2 \end{Bmatrix} \quad (38)$$

となる．これは，部材全体の接点変位と節点荷重の関係を表す式であることから，”全体剛性方程式”と呼ばれる．

1.6 例題 2

1. 図 4 に示す軸力部材の近似解を，式 (38) を用いて求める．2 つの要素の長さ l_1, l_2 を

$$l_1 = l_2 = \frac{l}{2} \quad (39)$$

とすれば，

$$p_1^1 = \int_{x_1=0}^{l_1} p_0 \phi_1^1(x_1) dx_1 = \frac{p_0 l}{4} \quad (40)$$

で，同様にして

$$p_i^e = \frac{p_0 l}{4}, \quad (e = 1, 2, i = 1, 2) \quad (41)$$

であることが示される．また，節点 1 は固定端，節点 2 と 3 に集中荷重は外部から加えられていないため，

$$u_1 = 0, \quad F_2 = F_3 = 0 \quad (42)$$

とすることができる．よって，全体剛性方程式 (38) は

$$\frac{2EA}{l} \begin{pmatrix} 1 & -1 & 0 \\ -1 & 2 & -1 \\ 0 & -1 & 1 \end{pmatrix} \begin{Bmatrix} u_2 \\ u_3 \end{Bmatrix} = \begin{Bmatrix} F_1 \\ 0 \\ 0 \end{Bmatrix} + \frac{p_0 l}{4} \begin{Bmatrix} 1 \\ 2 \\ 1 \end{Bmatrix} \quad (43)$$

となる．そこで，式 (43) を，未知の節点変位 u_2, u_3 に関する方程式に縮約して

$$\frac{2EA}{l} \begin{pmatrix} 2 & -1 \\ -1 & 1 \end{pmatrix} \begin{Bmatrix} u_2 \\ u_3 \end{Bmatrix} = \frac{p_0 l}{4} \begin{Bmatrix} 2 \\ 1 \end{Bmatrix} \quad (44)$$

を解けば，

$$u_2 = \frac{3}{8} \frac{p_0 l^2}{EA}, \quad u_3 = \frac{1}{2} \frac{p_0 l^2}{EA} \quad (45)$$

が得られる．これを，式 (43) に代入すれば，全体節点 1 における力 (反力が) $F_1 = -p_0 l$ と求められる．要素 e における変位の近似解 $\tilde{u}(x_e)$ は，式 (45) を

$$\tilde{u}(x_e) = \sum_{i=1}^2 u_i^e \phi_i^e(x_e), \quad (0 \leq x_e \leq l_e) \quad (46)$$

に代入することで得られる．ここでは，変位分布を要素毎に 1 次式で近似しているため，2 次式で与えられる厳密解には一致しない．しかしながら，部材全体の変位分布を一つの直線で近似よりも，解の精度は向上している．

2. 図 5 に示す軸力部材に生じる変位分布を求める．ここでも，式 (39) のように，長さの等しい 2 つの要素に部材を要素分割すれば，

$$u_1 = 0, \quad F_2 = F, \quad F_3 = 0, \quad p(x) \equiv 0 \quad (47)$$

より，剛性方程式 (38) は

$$\frac{2EA}{l} \begin{pmatrix} 1 & -1 & 0 \\ -1 & 2 & -1 \\ 0 & -1 & 1 \end{pmatrix} \begin{Bmatrix} u_2 \\ u_3 \end{Bmatrix} = F \begin{Bmatrix} 0 \\ 1 \\ 0 \end{Bmatrix} + \begin{Bmatrix} F_1 \\ 0 \\ 0 \end{Bmatrix} \quad (48)$$

となる．これを縮約して得られる

$$\frac{2EA}{l} \begin{pmatrix} 2 & -1 \\ -1 & 1 \end{pmatrix} \begin{Bmatrix} u_2 \\ u_3 \end{Bmatrix} = F \begin{Bmatrix} 1 \\ 0 \end{Bmatrix} \quad (49)$$

を解いて未知の節点変位と節点荷重を求めると，

$$u_2 = u_3 = \frac{Fl}{2EA}, \quad F_1 = -F \quad (50)$$

と，厳密解に一致する結果が得られる．

1.7 問題 2

図 8 に示すような，両端が固定された 2 つの軸力部材について，式 (38) を用いて変位の近似解を求めよ．なお，部材の断面剛性 EA は一定とし，要素 1 と要素 2 の長さは $l/2$ となるように要素分割が行われているものとする．

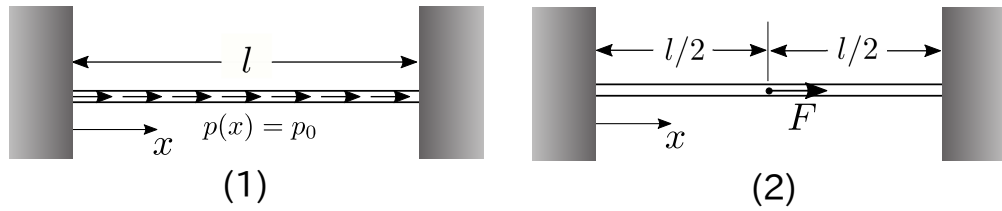


図 8: 両端が固定された荷重条件の異なる 2 つの軸力部材.